

1 Průzkumová analýza

1.1 Načtení dat

Ukázka výpisu pseudokódu

```
1 data <- read.delim("...", stringsAsFactors = F) # nacti data
2 data <- na.omit(...) # odstran NA hodnoty
3 data$upface_cat <- car::recode(data$upface.H, "lo:70 = 1; 70.001:hi = 2")
4 head(...) # vypis hlavicku promenne data
5 dim(...) # vypocitej dimenzi tabulky data
```

Ukázka výpisu kódu s výstupy

```
6 data <- read.delim("15-anova-means-skull.txt", stringsAsFactors = F)
7 data <- na.omit(data)
8 data$upface_cat <- car::recode(data$upface.H, " lo:70 = 1; 70.001:hi = 2")
9 head(data)
```

| | id | pop | sex | upface.H | upface_cat |
|---|----|-----|-----|----------|------------|
| 1 | 1 | nem | m | 73 | 2 |
| 2 | 2 | nem | m | 73 | 2 |
| 3 | 3 | nem | m | 67 | 1 |
| 4 | 4 | nem | m | 75 | 2 |
| 5 | 5 | nem | m | 70 | 1 |
| 6 | 6 | nem | m | 62 | 1 |

10
11
12
13
14
15
16

```
17 dim(data)
```

```
[1] 163 5
```

18

1.2 Tabulky

```

19 upface <- data$upface.H
20 sex <- data$sex
21 pop <- data$pop
22 mal.m <- upface[pop == "mal" & sex == "m"]
23 per.m <- upface[pop == "per" & sex == "m"]
24 tab <- data.frame(m = c(mean(mal.m), mean(per.m)),
25                     s = c(sd(mal.m), sd(per.m)),
26                     med = c(quantile(mal.m, 0.50), quantile(per.m, 0.50)),
27                     q1 = c(quantile(mal.m, 0.25), quantile(per.m, 0.25)),
28                     q3 = c(quantile(mal.m, 0.75), quantile(per.m, 0.75)),
29                     row.names = c("malajska", "peruanska"))
30 tab <- round(tab, 4)

```

Tabulka 1: Tabulka základních číselných charakteristik

| | m | s | med | q1 | q3 |
|-----------|---------|--------|---------|---------|---------|
| malajska | 70.1304 | 4.9525 | 70.0000 | 67.0000 | 73.0000 |
| peruanska | 70.6136 | 4.1102 | 70.0000 | 67.7500 | 74.0000 |

Z tabulky základních číselných charakteristik 1 vidíme, že výška horní části tváře malajské populace je mírně nižší než výška horní části tváře peruánské populace.

Tabulka 2: Tabulka základních charakteristik

| | \bar{x} | s | $x_{0.5}$ | $x_{0.25}$ | $x_{0.75}$ |
|-----------|-----------|--------|-----------|------------|------------|
| malajska | 70.1304 | 4.9525 | 70.0000 | 67.0000 | 73.0000 |
| peruanska | 70.6136 | 4.1102 | 70.0000 | 67.7500 | 74.0000 |

Z tabulky 2 vidíme, že směrodatná odchylka výšky horní části tváře malajské populace je mírně vyšší než směrodatná odchylka výšky horní části tváře peruánské populace.

Tabulka 3: Kontingenční tabulka absolutních četností

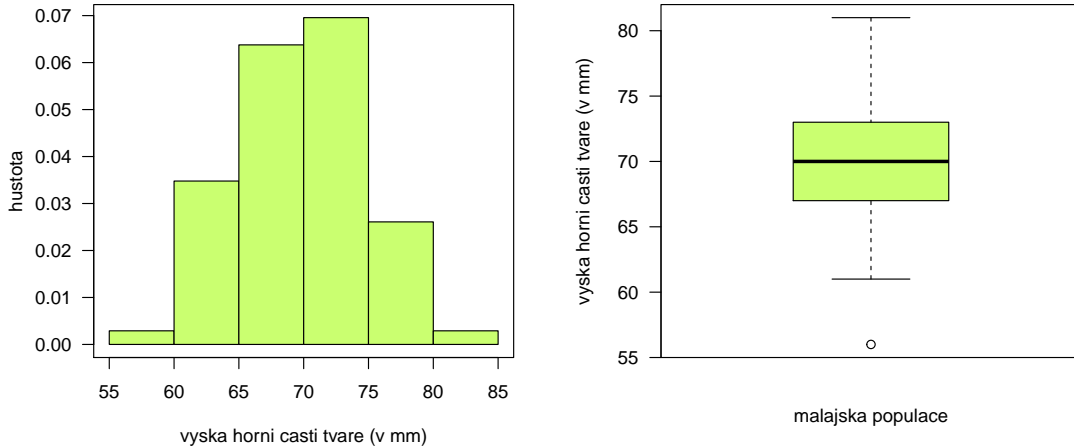
| populace | kategorie | | \sum |
|-----------|-----------|--------|--------|
| | ≤ 70 | > 70 | |
| malajska | 35 | 34 | 69 |
| peruanska | 23 | 21 | 44 |
| \sum | 58 | 55 | 113 |

1.3 Grafy, obrázky

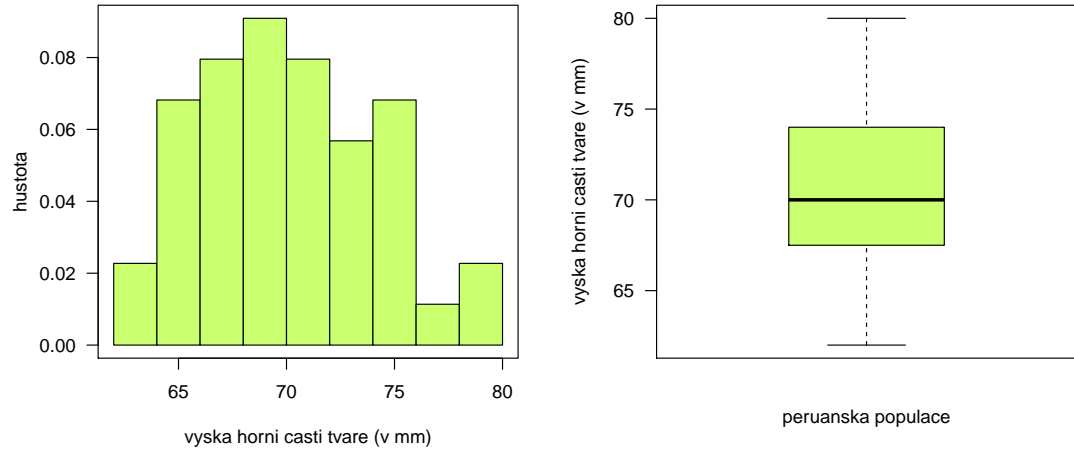
```

31 hist(mal.m, prob = T, col = "darkolivegreen1", main = "", ylab = 'hustota',
32       xlab = "vyska horni casti tvare (v mm)", las = 1)
33 box(bty = 'o')
34 boxplot(mal.m, col = "darkolivegreen1", main = "",
35          ylab = "vyska horni casti tvare (v mm)", las = 1)
36 mtext("malajska populace", side = 1, line = 2.1)

```



Obrázek 1: (a) Histogram (vlevo); (b) krabicový diagram (vpravo) výšky horní části tváře mužů malajské populace



Obrázek 2: (a) Histogram (vlevo); (b) krabicový diagram (vpravo) výšky horní části tváře mužů peruánské populace

Z obrázků 1 a 2 je vidět, že rozdělení výšky horní části tváře mužů malajské populace je blíže normálnímu rozdělení než rozdělení výšky horní části tváře mužů peruánské populace.

1.4 Animace

```
37 data19 <- read.delim('19-more-samples-correlations-skull.txt')
38 data.P <- data19[data19$pop == 'per', c('nose.H', 'nose.B')]
39 data.P <- na.omit(data.P)
40 library(MASS)
41 n <- 50
42 Z <- kde2d(data.P$nose.H, data.P$nose.B, n = n, lim = c(40, 60, 15, 30))
43 #-----
44 k <- 12
45 nrz <- nrow(Z$z) # pocet radku matice Z
46 ncz <- ncol(Z$z) # pocet sloupcu matice z
47 color <- terrain.colors(k)
48 stredy <- (Z$z[-1, -1] + Z$z[-1, -ncz] + Z$z[-nrz, -1] + Z$z[-nrz, -ncz]) / 4
49 stredy.col <- cut(stredy, k)
50
51 theta <- seq(0, 360, by = 15)
52 for(i in 1:length(theta)) {
53   persp(Z$x, Z$y, Z$z, main = '', xlab = 'vyska nosu (v mm)', ylab = 'sirka nosu (v mm)',
54         zlab = 'f(x, y)', asp = F, col = color[stredy.col], phi = 30, theta = theta[i])
55 }
```

Obrázek 3: 3D-diagram jádrového odhadu hustoty výšky nosu a šířky nosu mužů peruánské populace

Na obrázku 3 je zachycen 3D-diagram jádrového odhadu hustoty výšky nosu a šířky nosu mužů peruánské populace.

1.5 Mnohonásobné generování tabulek

Tabulka 4: Kontingenční tabulka absolutních četností – malajská a německá populace

| populace | kategorie | | \sum |
|----------|-----------|--------|--------|
| | ≤ 70 | > 70 | |
| malajská | 35 | 34 | 69 |
| německá | 6 | 13 | 19 |
| \sum | 41 | 47 | 88 |

Tabulka 5: Kontingenční tabulka absolutních četností – malajská a čínská populace

| populace | kategorie | | \sum |
|----------|-----------|--------|--------|
| | ≤ 70 | > 70 | |
| malajská | 8 | 5 | 13 |
| čínská | 35 | 34 | 69 |
| \sum | 43 | 39 | 82 |

Tabulka 6: Kontingenční tabulka absolutních četností – malajská a bantuská populace

| populace | kategorie | | \sum |
|----------|-----------|--------|--------|
| | ≤ 70 | > 70 | |
| malajská | 7 | 11 | 18 |
| bantuská | 35 | 34 | 69 |
| \sum | 42 | 45 | 87 |

Tabulka 7: Kontingenční tabulka absolutních četností – peruánská a německá populace

| populace | kategorie | | \sum |
|-----------|-----------|--------|--------|
| | ≤ 70 | > 70 | |
| peruánská | 6 | 13 | 19 |
| německá | 23 | 21 | 44 |
| \sum | 29 | 34 | 63 |

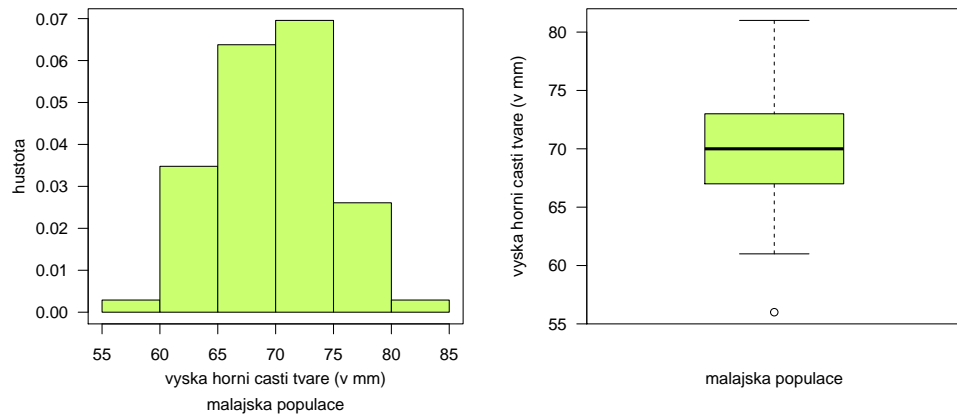
Tabulka 8: Kontingenční tabulka absolutních četností – peruánská a čínská populace

| populace | kategorie | | \sum |
|-----------|-----------|--------|--------|
| | ≤ 70 | > 70 | |
| peruánská | 8 | 5 | 13 |
| čínská | 23 | 21 | 44 |
| \sum | 31 | 26 | 57 |

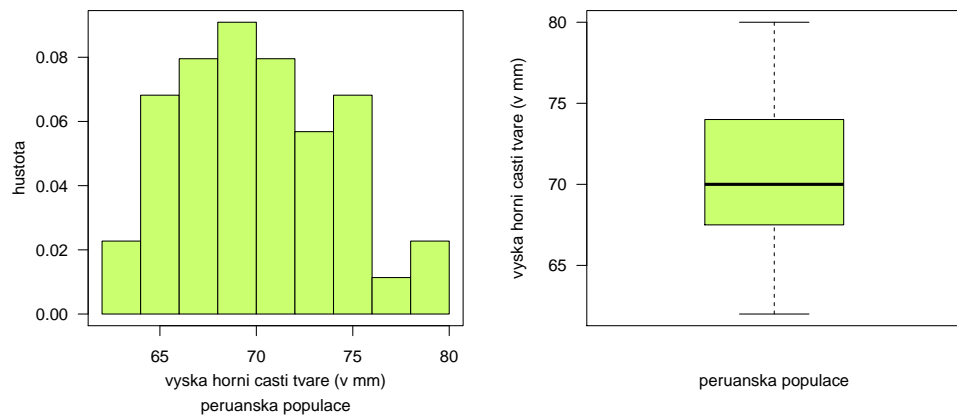
Tabulka 9: Kontingenční tabulka absolutních četností – peruánská a bantuská populace

| populace | kategorie | | \sum |
|-----------|-----------|--------|--------|
| | ≤ 70 | > 70 | |
| peruánská | 7 | 11 | 18 |
| bantuská | 23 | 21 | 44 |
| \sum | 30 | 32 | 62 |

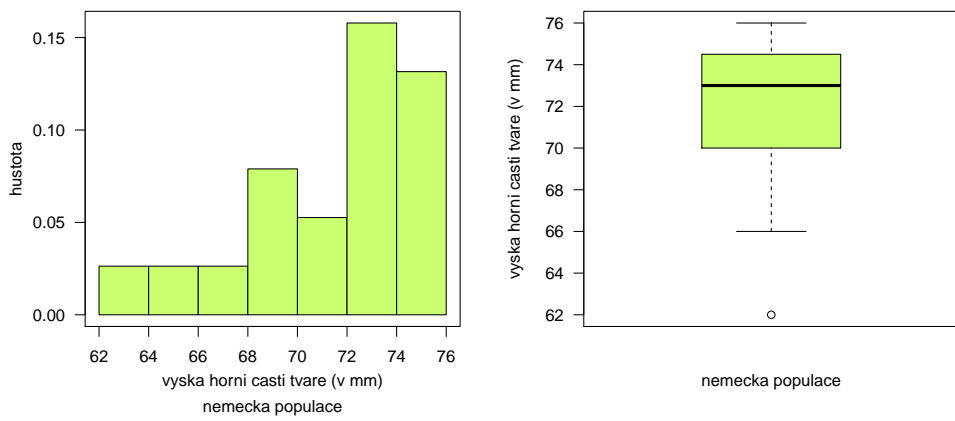
1.6 Mnohonásobné generování grafů



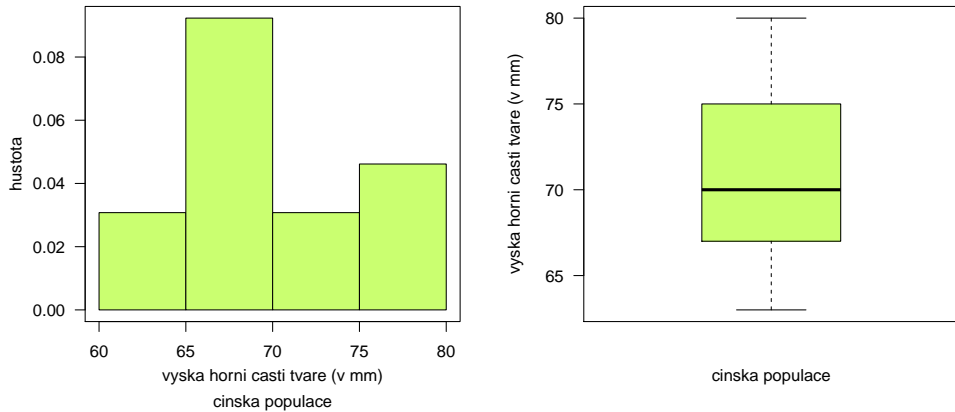
Obrázek 4: (a) Histogram (vlevo); (b) krabicový diagram (vpravo) výšky horní části tváře u mužů



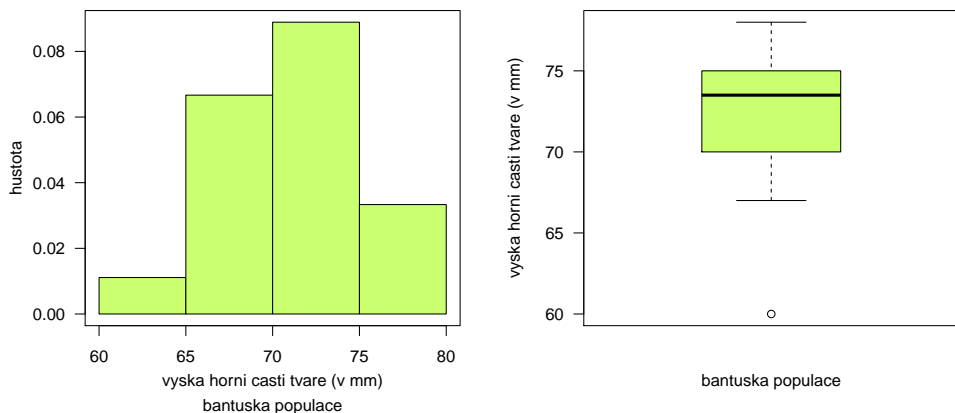
Obrázek 5: (a) Histogram (vlevo); (b) krabicový diagram (vpravo) výšky horní části tváře u mužů



Obrázek 6: (a) Histogram (vlevo); (b) krabicový diagram (vpravo) výšky horní části tváře u mužů nemecka populace



Obrázek 7: (a) Histogram (vlevo); (b) krabicový diagram (vpravo) výšky horní části tváře u mužů cinska populace



Obrázek 8: (a) Histogram (vlevo); (b) krabicový diagram (vpravo) výšky horní části tváře u mužů bantuska populace